

# Raytracing

## a další globální zobrazovací metody

Pavel Strachota

FJFI ČVUT v Praze

11. května 2015

# Obsah

- 1 Základní raytracing
- 2 Detaily implementace
- 3 Distribuovaný raytracing
- 4 Další globální zobrazovací metody
- 5 Galerie

# Obsah

- 1** Základní raytracing
- 2 Detaily implementace
- 3 Distribuovaný raytracing
- 4 Další globální zobrazovací metody
- 5 Galerie

## Motivace

obsah přednášky až dosud: kroky vedoucí k přímému zobrazení jednotlivých objektů na průmětnu  $\implies$  vhodné pro zobrazování v reálném čase

---

- definice scény, triangulace
  - **promítání** - maticová transformace
  - **řešení viditelnosti** - obrazový a objektový přístup, více či méně univerzální algoritmy, z-buffer, přímý výpočet **stínů**
  - **osvětlování** a metody **stínování** - aplikace osvětlovacího modelu na polygonální síť
  - mapování textur (bude potřeba i pro globální metody), perspektivně korektní mapování **přímo v průmětně**
- 

**nyní:** globální zobrazovací metody, snaha o fotorealistické zobrazování  $\implies$  barvu každého pixelu ovlivňují obecně všechny objekty ve scéně

## Raytracing - úvod

- **raytracing (sledování paprsku)** - klasická globální vykreslovací metoda
- vychází z geometrické optiky, jednoduchý algoritmus, jednoduchá implementace
- **není** založena na stochastickém fyzikálním osvětlovacím modelu jako další metody
- ve vhodné modifikaci je základní součástí komplexních algoritmů pro fotorealistické zobrazování, které kombinují více metod pro zachycení co nejširší škály efektů.

### Software:

POV-Ray, Mental Ray, V-Ray, **YafaRay** (dříve YafRay)

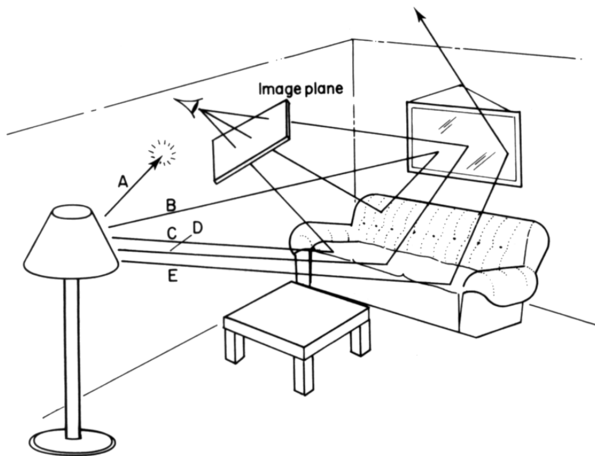
- 
- výchozí situace pro všechny metody: máme definovanou scénu a pohled kamery - tj. umístění průmětny a definice středu, resp. směru promítání

# Princip raytracingu

dva přístupy k výpočtu šíření světla pomocí geometrické optiky

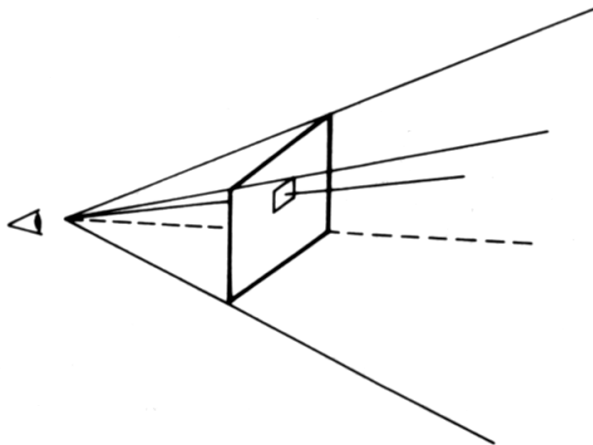
- 1 **sledování fotonů - ze světelného zdroje** vyšleme foton (směr je závislý na typu zdroje) a sledujeme, na jaké těleso dopadne, kam se odrazí, lomí, absorbuje.
  - jestliže se nakonec odrazí do průmětny, poznamenejme si jeho barvu v příslušném pixelu
  - problém - většina fotonů letí mimo průmětnu (přesto lze využít - viz *fotonové mapy*)
- 2 **sledování paprsku směrem od pozorovatele** - každým pixelem průmětny vedeme paprsek směrem od pozorovatele (středu promítání)
  - ve skutečnosti se světlo šíří obráceně, ale problém lze přeformulovat: místo „který foton se trefí do průmětny?“ se ptáme „**jakou barvu bude mít paprsek, který přiletá k pozorovateli z daného směru (daným pixelem)?**“
  - barva paprsku vznikne složením barvy mnoha „fotonů“ (viz dále)

# Znázornění šíření světla pomocí paprsků



Paprsky ve scéně

# Znázornění šíření světla pomocí paprsků



**Raytracing** - vyslání paprsku pixelem v průmětně



## Šíření světla v základní verzi algoritmu

- sledujeme, jak vznikne paprsek, který k pozorovateli přichází daným pixelem průmětny
- najdeme nejbližší povrch, který paprsek protíná, a od nějž tedy přichází
- v závislosti na vlastnostech povrchu světlo paprsku tvoří:
  - 1 ambientní osvětlení objektu
  - 2 světlo vzniklé **přímým difuzním odrazem (bodových) světelných zdrojů od povrchu**
  - 3 světlo vzniklé **přímým zrcadlovým odrazem světelných zdrojů**
  - 4 **zrcadlový odraz** paprsku přicházejícího od **jiného objektu** v odpovídajícím směru
  - 5 světlo lomené na povrchu (průhledného) objektu
- Pro (1), (2), (3) máme Phongův osvětlovací model, vznik paprsků (4) a (5) dále **rekurzivně** sledujeme

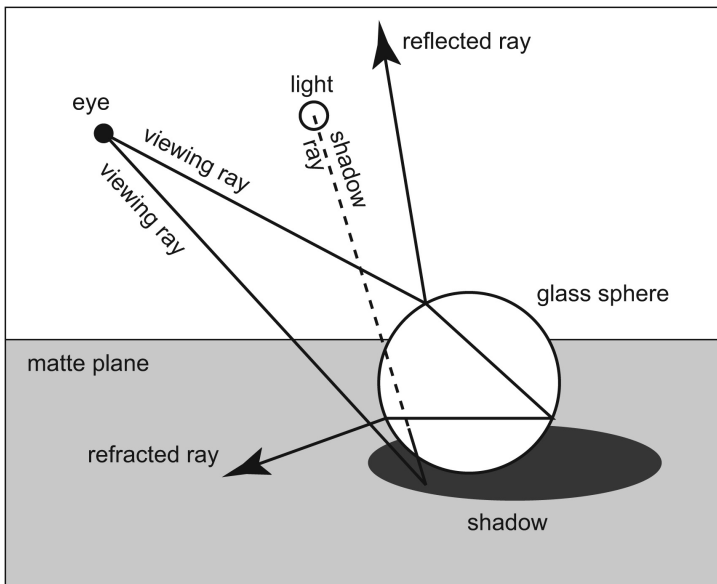
## Terminologie pro typy paprsků

- **obrazový (primární) paprsek** (*viewing ray*) - paprsek, o jehož barvu se zajímáme (který zpočátku vyšleme z místa pozorovatele)

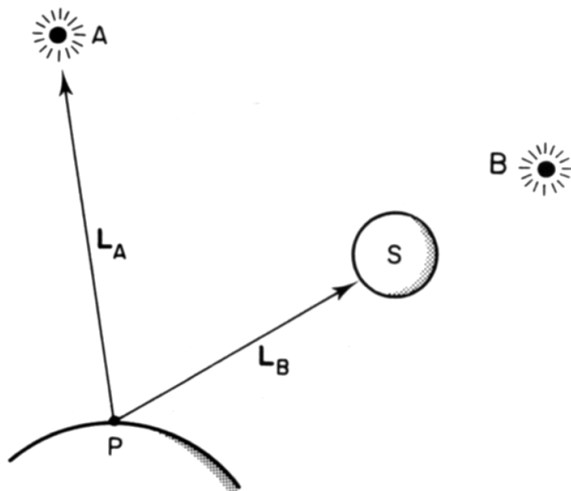
### Sekundární paprsky:

- **stínový paprsek** (*shadow ray*) - vyslaný z místa dopadu ke každému z bodových světelných zdrojů - jestliže v cestě nestojí jiný objekt, resp. povrch, daný bod je světelným zdrojem osvětlen  $\implies$  stínové paprsky jsou zodpovědné za zobrazení stínu
- **odražený paprsek** (*reflected ray*) - paprsek ve směru, odkud musí přicházet světlo, aby se odrazilo k pozorovateli (tj. do směru obrazového paprsku)
- **lomený paprsek** (*refracted ray*) - paprsek ve směru, odkud musí světlo procházet povrchem objektu (rozhraním opticky aktivních prostředí), aby došlo k lomu světla k pozorovateli

## Typy paprsků - schéma



# Stínové paprsky

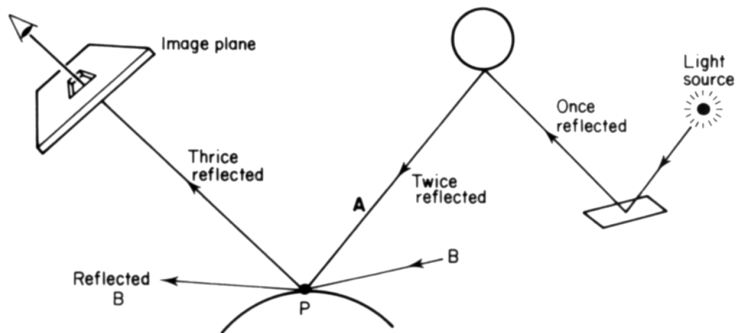


- nezajímáme se o to, který průsečík je nejbližší, ale pouze o to, zda průsečík existuje

## Odražené paprsky

- viz *Osvětlování a stínování*: odraz paprsku  $\mathbf{v}$  (směrem od pozorovatele) od povrchu s normálou  $\mathbf{n}$  vypočítáme jako

$$\mathbf{r} = 2(\mathbf{n} \cdot \mathbf{v})\mathbf{n} - \mathbf{v}$$



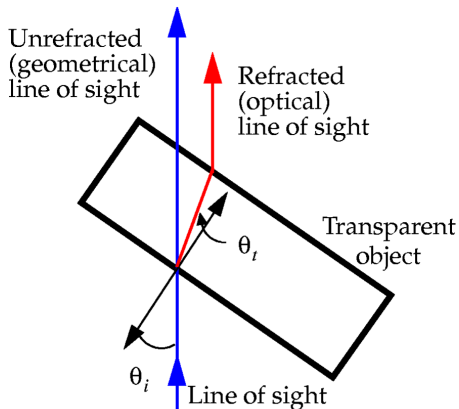
## Lomené paprsky 1/2

- Snellův\* zákon lomu
- založen na principu nejkratšího času průchodu paprsku prostředím
- platí

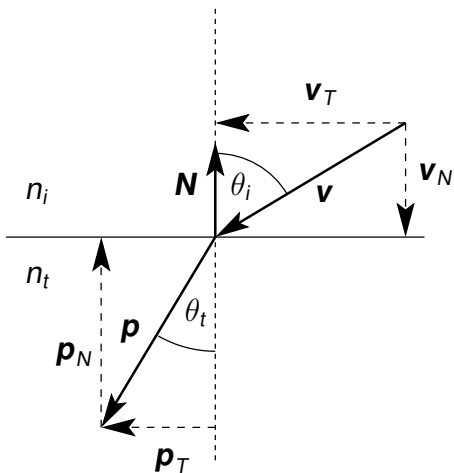
$$\frac{\sin \theta_i}{\sin \theta_t} = \frac{v_i}{v_t} = \frac{n_t}{n_i},$$

kde  $n_i, n_t$  jsou indexy lomu dvou prostředí na rozhraní a  $v_i, v_t$  jsou rychlosti světla v daných prostředích

\*) *Snell - holandský matematik Willebrord Snellius*



## Lomené paprsky 2/2



předpokládáme  $|\mathbf{N}| = 1$ :

- $\mathbf{v}_N = (\mathbf{v} \cdot \mathbf{N})\mathbf{N}$
- $\mathbf{v}_T = \mathbf{v} - \mathbf{v}_N$ 
  - a platí  $|\mathbf{v}_T| = |\mathbf{v}| \sin \theta_i$
- $\mathbf{p}_T = k \mathbf{v}_T$  kde  $k = \frac{\sin \theta_t}{\sin \theta_i} = \frac{n_i}{n_t}$ 
  - takže pak  $|\mathbf{p}_T| = |\mathbf{v}| \sin \theta_t$
- $\mathbf{p}_N = \sqrt{|\mathbf{v}|^2 - |\mathbf{p}_T|^2} \mathbf{N}$
- $\mathbf{p} = \mathbf{p}_T - \mathbf{p}_N$ 
  - takže  $|\mathbf{p}| = |\mathbf{v}|$

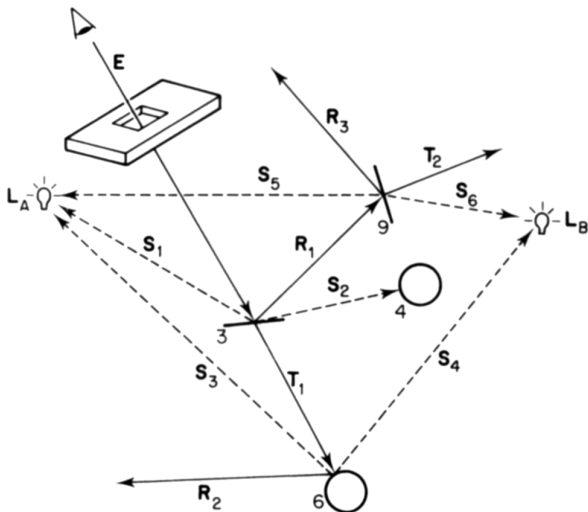
## Rekurzivní sledování paprsku

- v bodě průsečíku obrazového paprsku s povrchem vypočítáme stínové paprsky, odražený a lomený paprsek
- zjistíme, které stínové paprsky (směrem ke zdrojům světla) neprochází dalšími objekty („volné“ paprsky)
- pro světelné zdroje příslušné „volným“ stínovým paprskům vyhodnotíme Phongův osvětlovací model
- k výsledné barvě přičteme barvu odražených a lomených paprsků, násobenou koeficientem  $< 1$
- tyto barvy zjistíme **rekurzivním sledováním** obou paprsků - stávají se **obrazovými paprsky** a aplikujeme na ně stejnou proceduru jako na původní paprsek od pozorovatele
- **zastavení rekurze:**
  - paprsek opustí scénu
  - příspěvek barvy je již příliš malý
  - pevná hloubka rekurze



# Rekurzivní sledování paprsku

## Příklad



## Nejjednodušší rekurzivní raytracing - pseudokód

```
RGB TraceRay(Ray v, int r_depth) {  
    FinalColor={0,0,0};  
    Isect=FindNearestIntersection(v);  
    if(Isect==INFINITY) return(BackgroundColor);  
    foreach L in LightSources {  
        if(ShadowRay(Isect,L)==FREE)  
            FinalColor += PhongIllumination(Observer,Isect,L);  
    }  
    if(r_depth<MAX_RECURSION_DEPTH) FinalColor +=  
        M_S(Isect)*TraceRay(ReflectedRay(v,Isect),r_depth+1)  
        +M_T(Isect)*TraceRay(RefractedRay(v,Isect),r_depth+1);  
    return(FinalColor);  
}
```

- $M_S$  ... zrcadlová barva materiálu  $m_S$  (viz *osvětlování*)
- $M_T$  ... barva průhledného materiálu (*transparency*)

# Obsah

- 1 Základní raytracing
- 2 Detaily implementace**
- 3 Distribuovaný raytracing
- 4 Další globální zobrazovací metody
- 5 Galerie

## Nalezení průsečíku paprsku s objektem

- paprsek: přímka parametrizována jako  $\mathbf{S} + t\mathbf{v}$
- algoritmy pro nalezení průniku přímky a jednoduchých povrchů:
  - koule
  - rovina, trojúhelník, polygon
  - bikubické povrchy, NURBS, ...
- např. objekty reprezentované pomocí **CSG** (viz *modelování pevných těles*)- snadné vykreslení pomocí raytracingu:
  - nelze nalézt jen průsečík s nejbližším primitivním tělesem, ale:
    - 1 vypočítáme všechny průsečíky paprsku s primitivními tělesy v reprezentaci objektu  
⇒ vzniknou intervaly parametru  $t$  (úsečky na paprsku), kde je paprsek uvnitř jednotlivých primitiv
    - 2 s intervaly provedeme stejné operace, jaké jsou uloženy ve vrcholech CSG stromu ( $\cup, \cap, -$ )
    - 3 začátek nejbližšího intervalu udává průsečík se skutečným tělesem

## Vliv konečné přesnosti 1/2

- průsečík  $\mathbf{P}$  nalezen pomocí hodnoty parametru  $t$  v parametrickém zápisu přímky:  $\mathbf{P} = \mathbf{S} + t_{\mathbf{P}}\mathbf{v}$
- vlivem konečné přesnosti počítače neleží průsečík přesně na povrchu  
⇒ při sledování stínového/odraženého/lomeného paprsku můžeme detekovat falešný průsečík se stejným povrchem v jeho bezprostřední blízkosti.  
Např. po parametrickém vyjádření odraženého paprsku ve směru  $\mathbf{r}$  najdeme průsečík

$$\mathbf{P}' = \mathbf{P} + t_{\mathbf{P}'}\mathbf{r}, t \neq 0, \text{ ale } t \approx 0.$$

# Vliv konečné přesnosti 2/2

## Řešení

- 1 vyloučit stejné těleso ze zpracování sekundárních paprsků  
- jen pro stínové a odražené paprsky, navíc nutný předpoklad konvexnosti tělesa
- 2 posunout nový výchozí bod  $P$  (původní průsečík) ve směru normály ven z objektu (pro stínové a odražené paprsky), resp. dovnitř (pro lomené)

# Metody urychlení algoritmu

- rychlejší výpočet průsečíků
  - rychlejší výpočet jednotlivého průsečíku - obaly objektů, efektivnější rutiny pro výpočet průsečíku
  - méně výpočtů průsečíků - hierarchie ohraničujících objemů (obalů), rozdělení prostoru (uniformní či neuniformní), směrové techniky
- méně paprsků
  - adaptivní vzorkování podle složitosti scény
  - zobecněné paprsky - válec, kužel
- paralelizace (snadná), vektorizace

## Obaly objektů a jejich hierarchie

- **jednoduché obaly** objektů - například koule obsahující jeden celý objekt (Whitted)
  - pokud paprsek neprotne ani kouli, není nutné testovat průsečík s objektem
  - pro paprsek blízko objektu (protne kouli) sice provádíme 2 testy, ale takových dvojic paprsek-objekt je obvykle málo  $\implies$  v průměru urychlení o konstantní faktor
  - nevýhoda: stále zůstává test všech  $n$  objektů (složitost  $O(n)$ )
- **hierarchické obaly** - strom obalů ve formě rovnoběžnostěnů (Rubin, Whitted)
  - uzel stromu představuje obal, který v sobě obsahuje všechny obaly v potomcích
  - pokud paprsek neprotne kořen, není třeba testovat jeho potomky atd.
  - problém: sestavit hierarchii efektivně  $\implies$  snaha o složitost  $O(\log n)$



## Paměť překážek (*light buffer*)

- jedna z metod založených na tzv. *směrové krychli*
  - bodový světelný zdroj obklopen krychlí, jejíž povrch je případně rozdělen uniformně nebo adaptivně (např. *quadtree*) na menší čtverce
  - ke každému čtverci přiřazen seznam objektů, pro které existuje paprsek od zdroje skrz daný čtverec, který je protíná (preprocessing)
- 

- v průběhu raytracingu snadno určíme, kterým čtvercem prochází stínový paprsek
- získáme příslušný seznam objektů.
- testujeme průsečík stínového paprsku jen s objekty v seznamu. Ostatní objekty nemůže stínový paprsek protnout, protože je neprotne **žádný** paprsek od zdroje skrz daný čtverec.

# Obsah

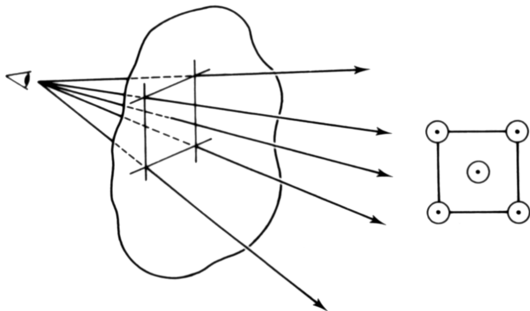
- 1 Základní raytracing
- 2 Detaily implementace
- 3 Distribuovaný raytracing**
- 4 Další globální zobrazovací metody
- 5 Galerie

# Nedostatky základní verze algoritmu

- **aliasing**
- umožňuje pouze **bodové zdroje** světla
  - generuje pouze **ostré stíny**
  - neumí **kaustiky** (*caustics*) - obrazce vzniklé promítáním světla, prostupujícího od světelného zdroje průhledným objektem, na povrch jiného objektu
- rekurze nezahrnuje **difuzní odraz** světla od objektů do scény - stále máme ambientní složku osvětlení
- neumí zpracovat **průsvitnost** (*translucency*), pouze čistou průhlednost
- chybí iluze **hloubky ostrosti** (*depth of field*)

## Antialiasing - adaptivní nadvzorkování

- vyšleme každým pixelem 5 paprsků, jeden středem a 4 jeho rohy
- jestliže se výsledné barvy paprsků příliš neliší, pixel obarvíme jejich průměrem
- v opačném případě rozdělíme pixel do 4 subpixelů a na každý opakujeme stejný postup



# Adaptivní nadvzorkování

## Vlastnosti

- snadný postup, dobře odstraní aliasing
- zásah tělesa s malým průmětem však není jistý ani při 5 vyslaných paprscích (těleso mineme a stále všechny paprsky budou mít podobnou barvu)
- nadvzorkování je lepší udělat **nepravidelně**

# Stochastické vzorkování

- nadvzorkování
- výběr vzorků
  - zcela náhodně
  - v každém pixelu stejný počet vzorků, náhodně posunutých v rámci pixelu vůči pravidelné přížce - tzv. **roztřesení** (*jittering*)
- efektivně odstraní aliasing - přesněji: aliasing je ve formě šumu, k němuž je lidské vnímání lhostejné



# Stochastické vzorkování

## Roztřesení - náhodné rozdělení

- aproximujeme zákon řídkých jevů (Poissonovo rozdělení)

### Zákon řídkých jevů:

právě jeden vzorek v intervalu  $(t, t + h)$  s pravděpodobností  $\lambda h + o(h)$ , více než jeden s pravděpodobností  $o(h)$  nezávisle na  $t$  ( $\lim_{h \rightarrow 0} o(h) / h = 0$ ). Potom pravděpodobnost, že v intervalu  $(0, t)$  máme  $k$  vzorků, je

$$P(X_t = k) = \frac{(\lambda t)^k}{k!} e^{-\lambda t}$$

- vzorky jsou dostatečně daleko od sebe a zároveň ne příliš daleko

## Distribuovaný raytracing 1/8

- nadvzorkování lze využít i v průběhu rekurzivního sledování
- generujeme svazek primárních, odražených, stínových a lomených paprsků kolem původního přesného paprsku
- jejich směry mají náhodné rozdělení dané **distribuční funkcí**, která je specifická pro daný povrch
- tím stochasticky (metodou Monte Carlo) aproximujeme integrál celkové intenzity světla  $I$  odrážející se od povrchu pod prostorovým úhlem  $(\phi_r, \theta_r)$

$$I(\phi_r, \theta_r) = \int_{\phi_i} \int_{\theta_i} L(\phi_i, \theta_i) R(\phi_i, \theta_i, \phi_r, \theta_r) d\phi_i d\theta_i,$$

kde  $R$  je funkce odrazivosti a  $L$  je funkce osvětlení (dopadající intenzity světla v závislosti na úhlu)



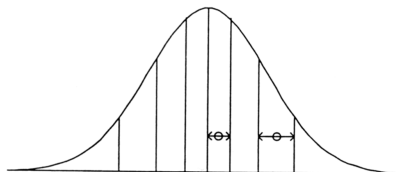
# Distribuovaný raytracing 2/8

## Implementace vzorkování - vážení vzorků

- vzorky chceme vážit tak, aby např. příspěvek odražených paprsků odpovídal funkci odrazivosti  $R(\phi_i, \theta_i, \phi_r, \theta_r)$

### 2 možnosti

- 1 vzorkovat strejnoměrně, poté vážit hodnotou  $R$  (nebo obecně jiného rozdělení v závislosti na případu)
  - 2 generovat směry paprsků s pravděpodobností odpovídající „důležitosti“ - např. hodnotě  $R$  (*importance sampling*)
- výsledné barvy už jen zprůměrovat
  - rozdělení def. oboru „filtru“ (např. funkce  $R$ ) na oblasti  $\Omega_i$  o stejné ploše (integrálu  $\int_{\Omega_i} R$ ), 1 vzorek na každou oblast



# Distribuovaný raytracing 3/8

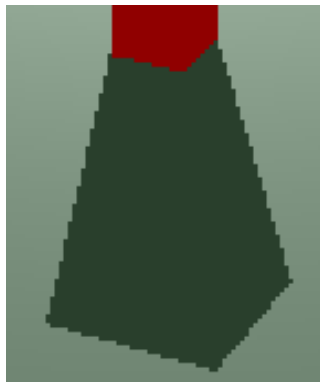
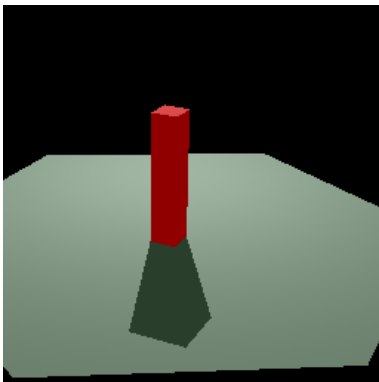
## Efekty dosažitelné distribuovaným nadzvorkováním

- odpadají zjednodušující předpoklady, vedoucí k základnímu algoritmu raytracingu
  - např. pokud  $L$  je  $\delta$ -funkce, pak máme bodové zdroje světla a z integrálu je konečná suma
  - pokud  $R$  je  $\delta$ -funkce, tak máme jen dokonalé zrcadlové odrazy
- umožňuje simulovat další efekty:
  - plošné zdroje světla, neostré stíny
  - průsvitnost
  - neostré odrazy - různé úrovně lesku (*gloss*)
  - konečná hloubka ostrosti
  - rozmazání pohybem
- importance sampling + jittering  $\implies$  antialiasing

# Distribuovaný raytracing 4/8

## Neostré stíny

- distribuce stínových paprsků v prostorovém úhlu plošného světelného zdroje

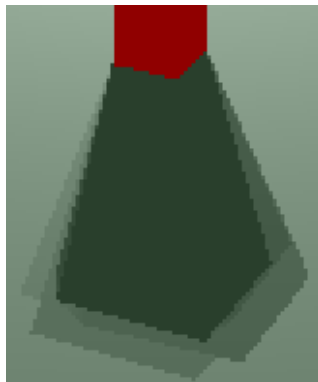
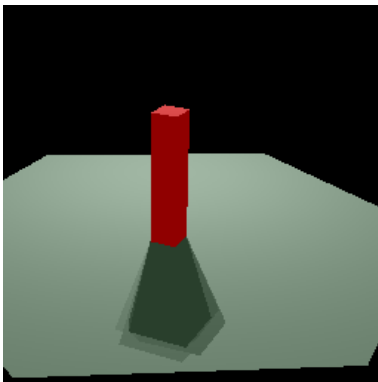


Tradiční základní raytracing

# Distribuovaný raytracing 4/8

## Neostré stíny

- distribuce stínových paprsků v prostorovém úhlu plošného světelného zdroje

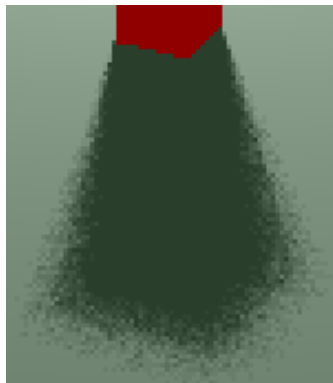
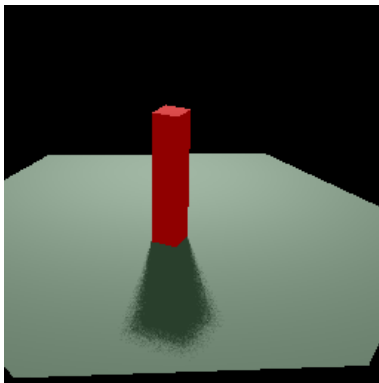


Uniformní vzorkování

# Distribuovaný raytracing 4/8

## Neostré stíny

- distribuce stínových paprsků v prostorovém úhlu plošného světelného zdroje

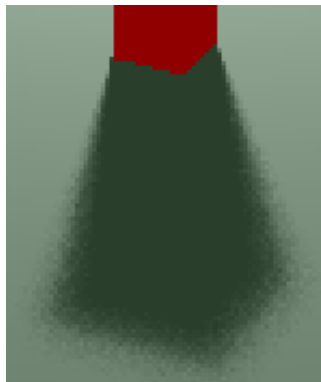
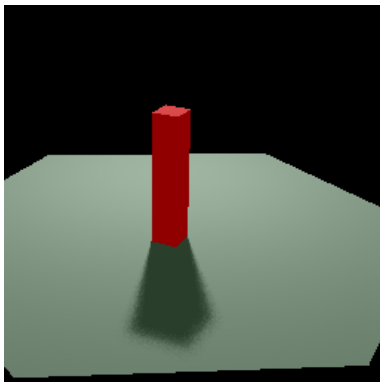


DR 10 paprsků

# Distribuovaný raytracing 4/8

## Neostré stíny

- distribuce stínových paprsků v prostorovém úhlu plošného světelného zdroje

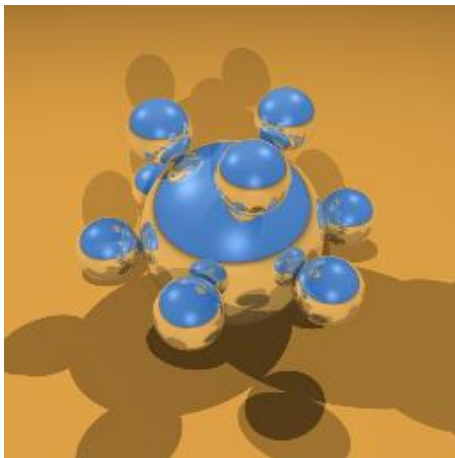


DR 50 paprsků

# Distribuovaný raytracing 4/8

## Neostré stíny

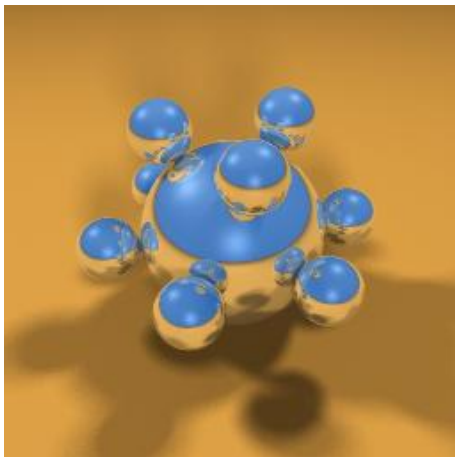
- distribuce stínových paprsků v prostorovém úhlu plošného světelného zdroje



# Distribuovaný raytracing 4/8

## Neostré stíny

- distribuce stínových paprsků v prostorovém úhlu plošného světelného zdroje

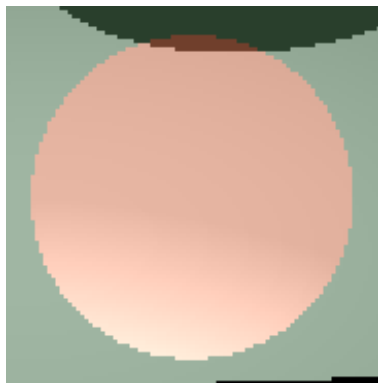
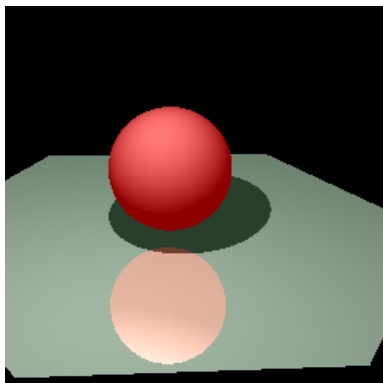




# Distribuovaný raytracing 5/8

## Neostré odrazy

- distribuce odražených paprsků kolem úhlu (dokonalého) odrazu

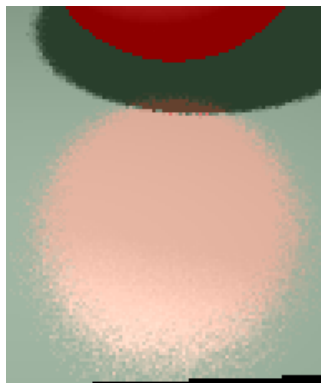
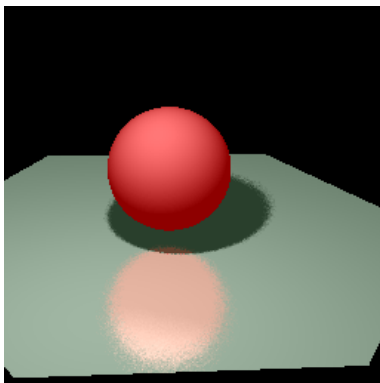


Tradiční základní raytracing

# Distribuovaný raytracing 5/8

## Neostré odrazy

- distribuce odražených paprsků kolem úhlu (dokonalého) odrazu

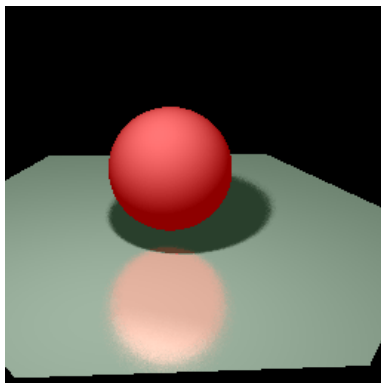


DR 10 paprsků

# Distribuovaný raytracing 5/8

## Neostré odrazy

- distribuce odražených paprsků kolem úhlu (dokonalého) odrazu

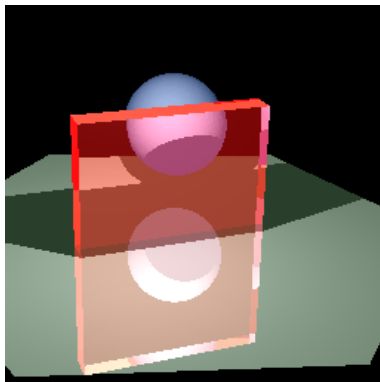


DR 50 paprsků

# Distribuovaný raytracing 6/8

## Průsvitnost

- distribuce lomených paprsků kolem hlavního směru úhlu lomeného paprsku - funkce „propustnosti“ místo odrazivosti  $R$

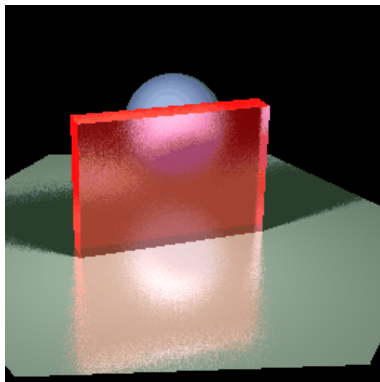


Tradiční základní raytracing

# Distribuovaný raytracing 6/8

## Průsvitnost

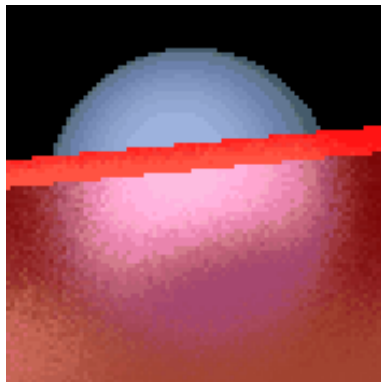
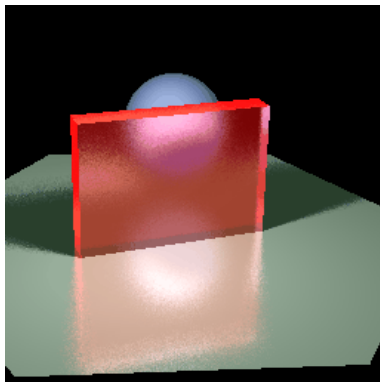
- distribuce lomených paprsků kolem hlavního směru úhlu lomeného paprsku - funkce „propustnosti“ místo odrazivosti  $R$



# Distribuovaný raytracing 6/8

## Průsvitnost

- distribuce lomených paprsků kolem hlavního směru úhlu lomeného paprsku - funkce „propustnosti“ místo odrazivosti  $R$



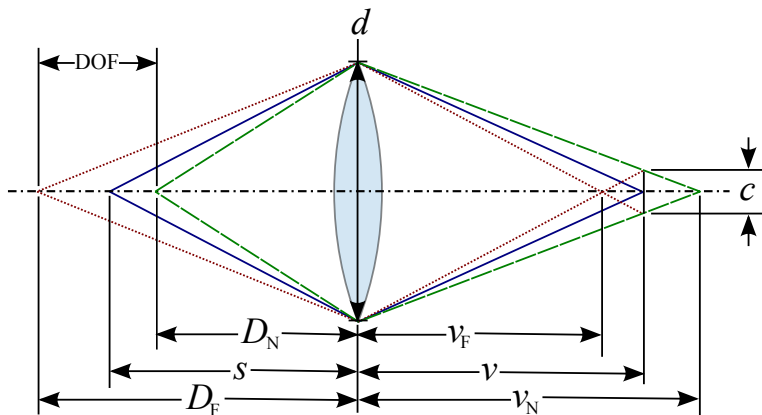
# Distribuovaný raytracing 7/8

## Hloubka ostrosti - úvod

- fotografie - všechny objekty ostré, jen jestliže fotíme nekonečně malou dírkou
- ve skutečnosti jsou ostré jen objekty v určité vzdálenosti od průmětny - rovina ostrosti rovnoběžná s průmětnou
- konečný průřez čočky (clona, *aperture*)  $\implies$  body ve scéně se zobrazí jako kruhy (*circle of confusion*)
- **hloubka ostrosti** (*depth of field*) = rozsah vzdáleností, kde jsou tyto kruhy menší než pixel na průmětně (resp. kde jsou stále pozorovatelné jako body)
- pokud se chceme přiblížit dojmu fotografie, implementujeme i hloubku ostrosti

# Distribuovaný raytracing 7/8

## Hloubka ostrosti - schéma





# Distribuovaný raytracing 7/8

## Hloubka ostrosti - implementace

- máme zadánu vzdálenost roviny ostrosti a velikost clony  $d$
- vyšleme primární obrazový paprsek z pixelu  $P$ , jeho průsečík s rovinou ostrosti označíme  $Q$
- vyšleme další paprsky náhodně rozmístěné v kruhu o velikosti  $d$  se středem v  $P$  tak, aby procházely bodem  $Q$
- čím větší  $d$ , tím menší hloubka ostrosti

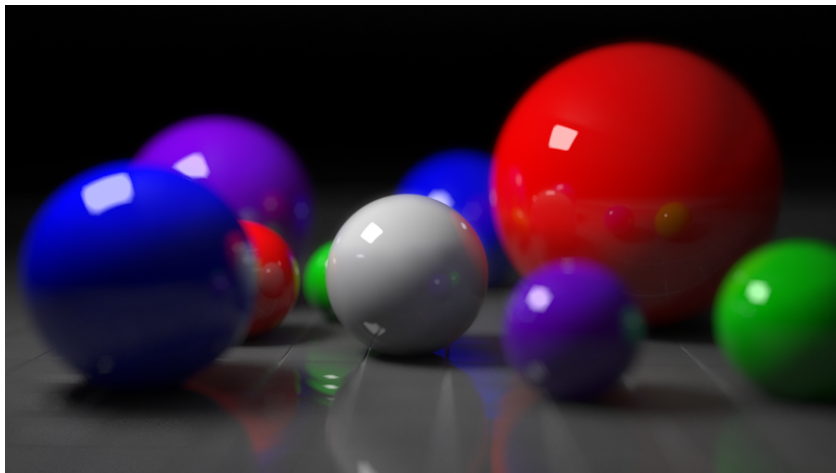
# Distribuovaný raytracing 7/8

Hloubka ostrosti - příklady



# Distribuovaný raytracing 7/8

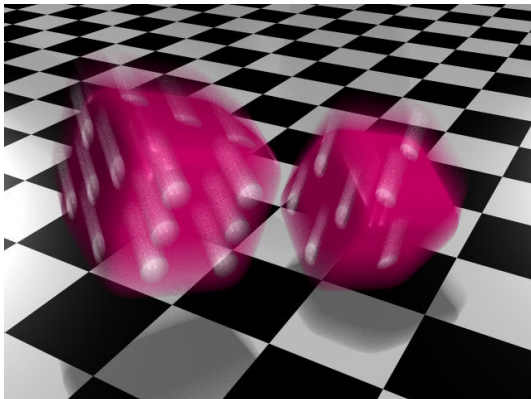
## Hloubka ostrosti - příklady



# Distribuovaný raytracing 8/8

## Rozmazání pohybem

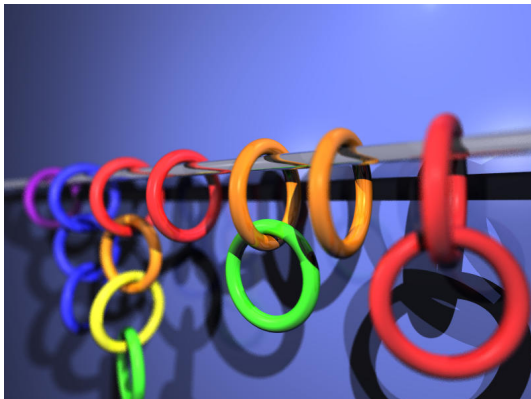
- polohy objektů jsou funkce času
- stochastické vzorkování paprsků nejen v prostoru, ale i v čase



# Distribuovaný raytracing 8/8

## Rozmazání pohybem

- polohy objektů jsou funkce času
- stochastické vzorkování paprsků nejen v prostoru, ale i v čase



# Obsah

- 1 Základní raytracing
- 2 Detaily implementace
- 3 Distribuovaný raytracing
- 4 Další globální zobrazovací metody**
- 5 Galerie

# Metoda fotonových map

## ● **dvoufázová metoda**

- 1 vyzařování fotonů ze světelných zdrojů podle rozložení zářivého toku daného zdroje
  - fotony se mohou ve scéně odrazit, lomit, absorbovat
  - při interakci fotonu s objektem (kromě zrcadlového odrazu) je jeho příspěvek uložen do trojrozměrné mřížky - *fotonové mapy*
  - pro každý foton se ukládá: pozice, zářivý tok, příchozí směr
  - pro fotony tvořící **kaustiky** je vytvořena speciální fotonová mapa s vyšším rozlišením
- 2 sledováním paprsku se vykresluje scéna
  - při dopadu paprsku na objekt se vyhodnotí osvětlovací model
  - informace o osvětlení poskytují nejbližší buňky fotonové mapy

# Metoda fotonových map

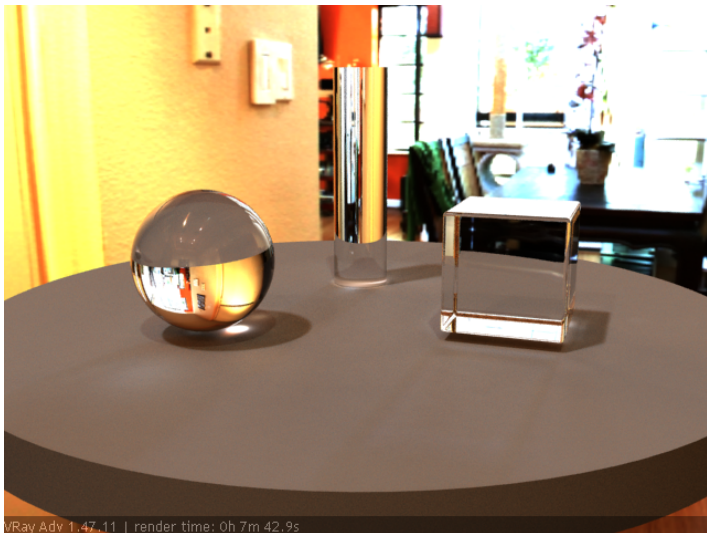
## Vlastnosti

- lze simulovat všechny druhy přímého a nepřímého osvětlení, difúzních a dokonale i nedokonale zrcadlových odrazů
- nezávisí na geometrii scény
- rychlá metoda, snadná paralelizace
- pro složité scény paměťově náročná
- běžná součást renderovacího software založeného na raytracingu



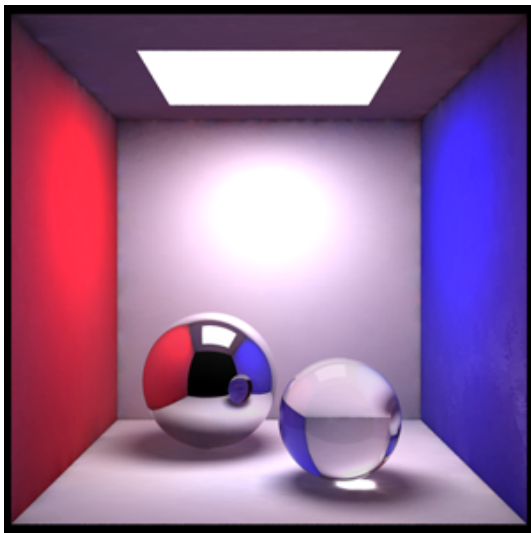
# Metoda fotonových map

## Příklady



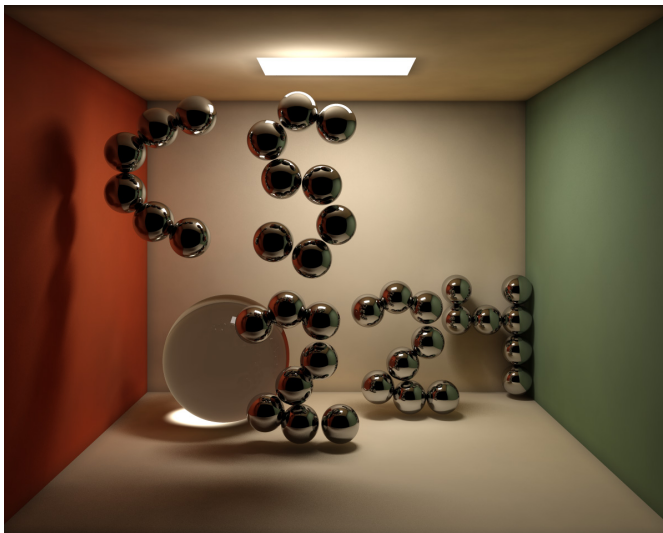
# Metoda fotonových map

## Příklady



# Metoda fotonových map

## Příklady



# Metoda radiozity

- řešení zjednodušené zobrazovací rovnice
- **zobrazovací rovnice** - integrální rovnice popisující v každém bodě energetickou bilanci světla (absorbované, vyzářené, odražené)
- rozdělení odrazu světla od povrchu v závislosti na *úhlu dopadu a úhlu pohledu* vyjádřeno **distribuční funkcí (BRDF - Bidirectional Reflectance Distribution Function)**
- zjednodušení: uvažujeme pouze difuzní odrazy - tzv. *radiozitivní rovnice*  
⇒ model plně popisuje difuzní šíření světla ve scéně
- numerické řešení - scéna pokryta sítí, metoda konečných prvků

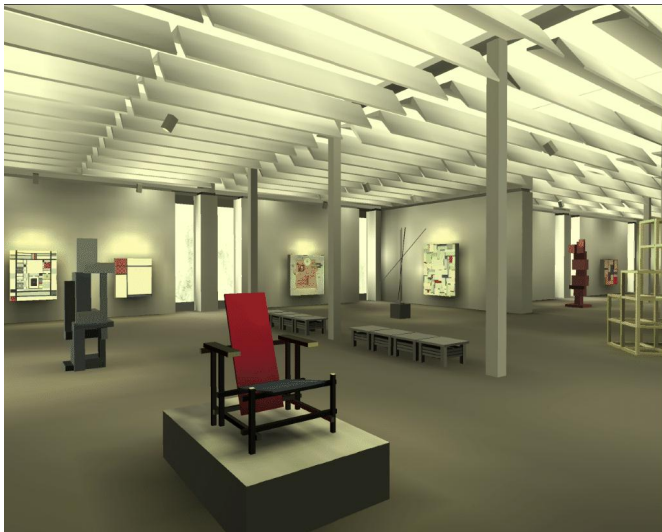
# Metoda radiozity

## Příklady



# Metoda radiozity

## Příklady



# Metoda radiozity

## Příklady

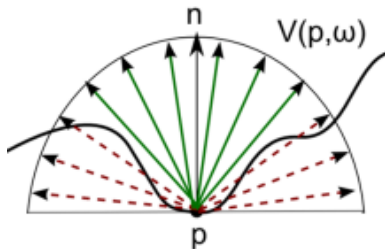


# Ambient occlusion

- pouze simuluje globální osvětlovací model
- vypočítává, v jaké míře na povrch objektu dopadá ambientní osvětlení
- lze předpočítat a výsledek uložit do textury
- vzorkování integrálu

$$AO(\mathbf{P}, \mathbf{n}) = \frac{1}{\pi} \int_{\omega} \mathbf{V}(\mathbf{p}, \omega) \cdot \mathbf{n} d\omega$$

- každý paprsek, který neprotne žádný objekt, přispěje k ambientnímu osvětlení





# Cornellova krabice

- *Cornell box*
- precizně vyrobená a přesně nasvětlená krabice na Cornell University v Ithace, NY, USA
- referenční scéna pro algoritmy fotorealistického zobrazování
- její parametry (rozměry, barvy, materiály) jsou přesně známy, a proto ji lze přesně modelovat

# Rendering Cornellovy krabice



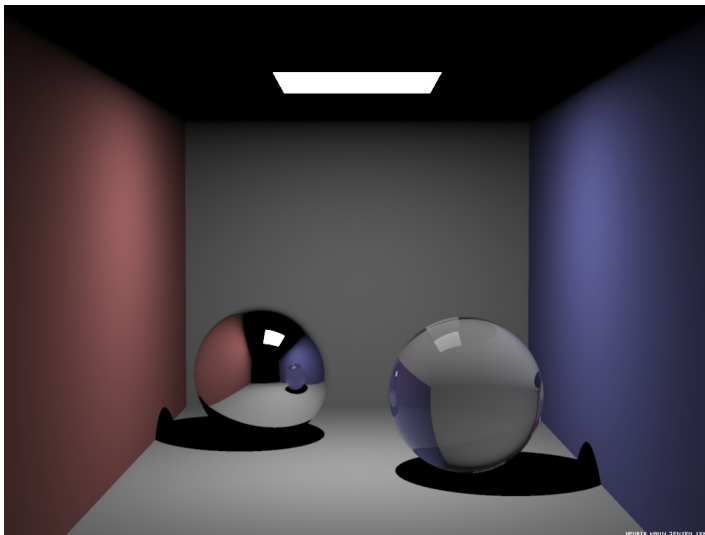
Skutečná Cornellova krabice

# Rendering Cornellovy krabice



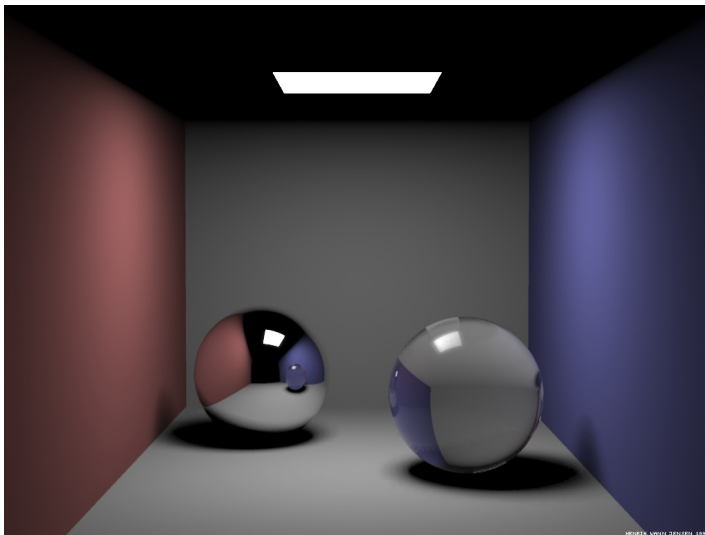
Simulace - radiozita

# Raytracing Cornellovy krabice



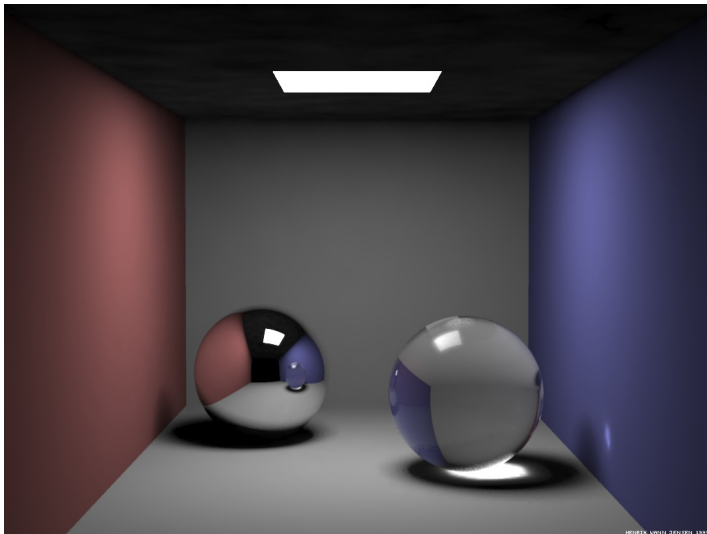
Raytracing

# Raytracing Cornellovy krabice



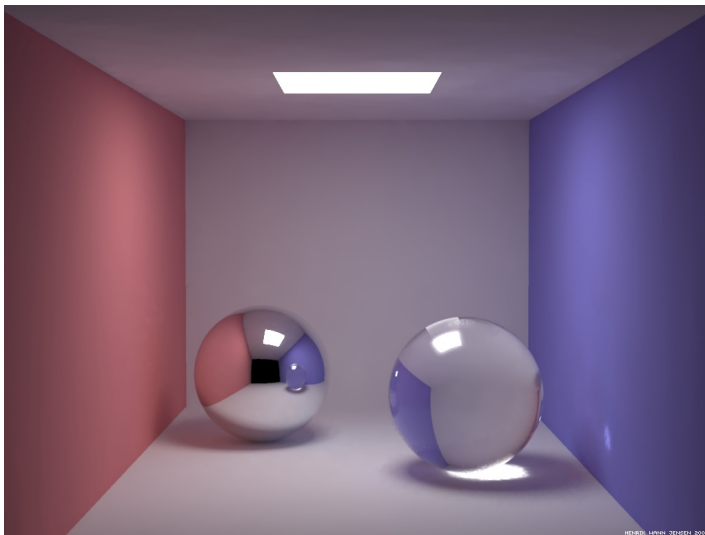
Raytracing + měkké stíny

# Raytracing Cornellovy krabice



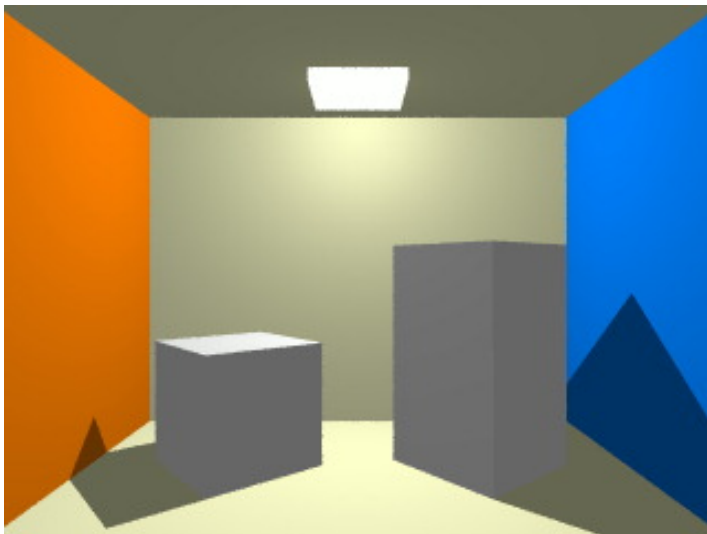
Raytracing + měkké stíny + kaustiky

# Raytracing Cornellovy krabice



Raytracing + měkké stíny + kaustiky + globální osvětlení

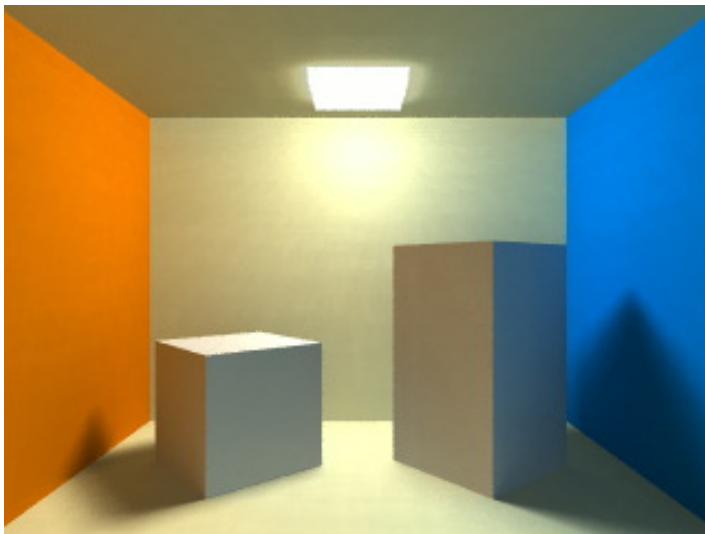
# Globální osvětlení v Cornellově krabici



Scéna 1 bez G.O.

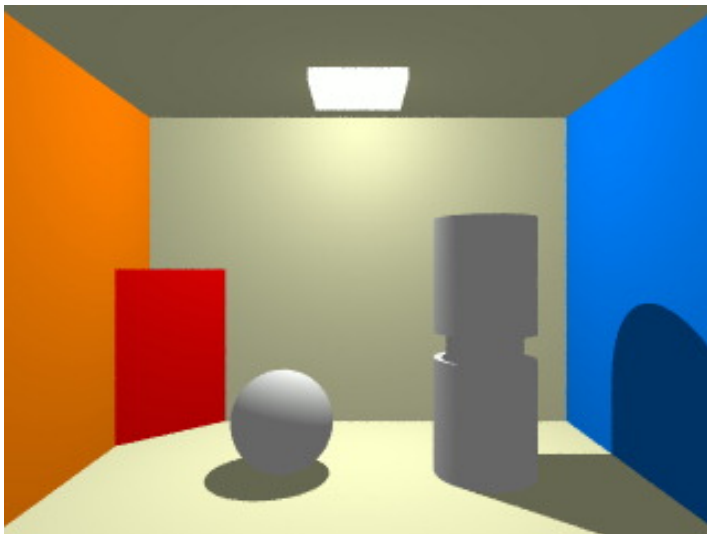


# Globální osvětlení v Cornellově krabici



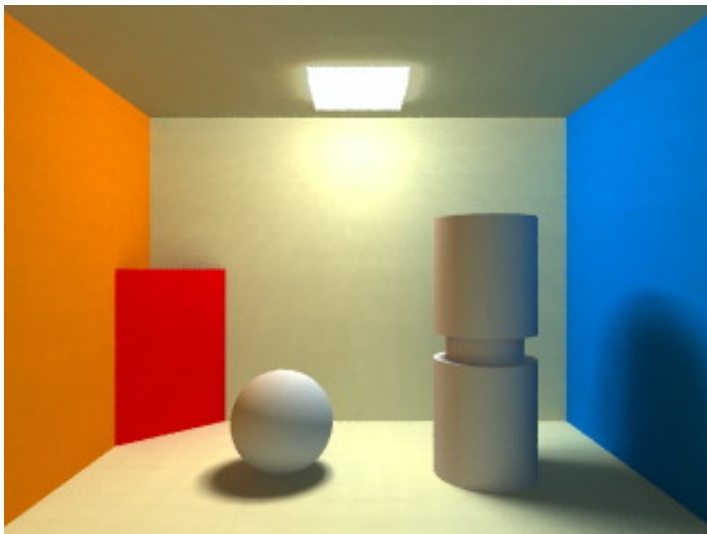
Scéna 1 s G.O.

# Globální osvětlení v Cornellově krabici



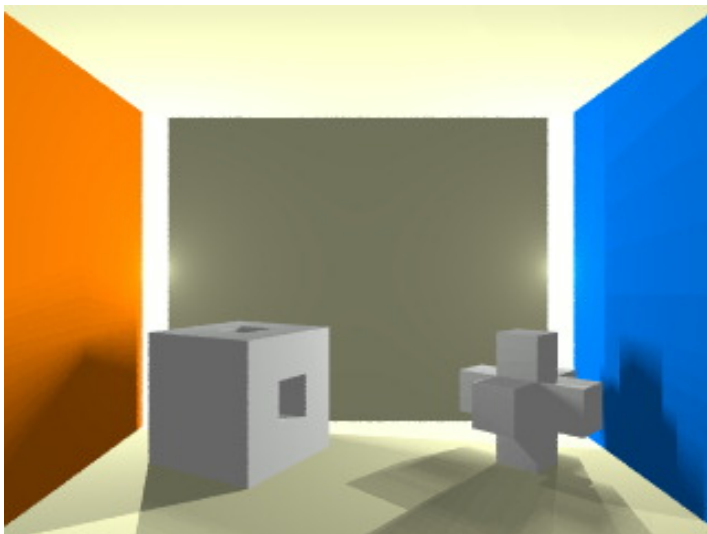
Scéna 2 bez G.O.

# Globální osvětlení v Cornellově krabici



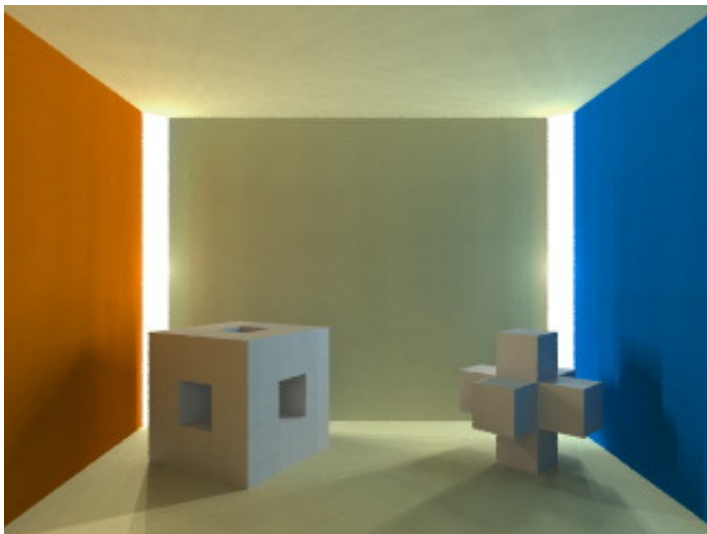
Scéna 2 s G.O.

# Globální osvětlení v Cornellově krabici



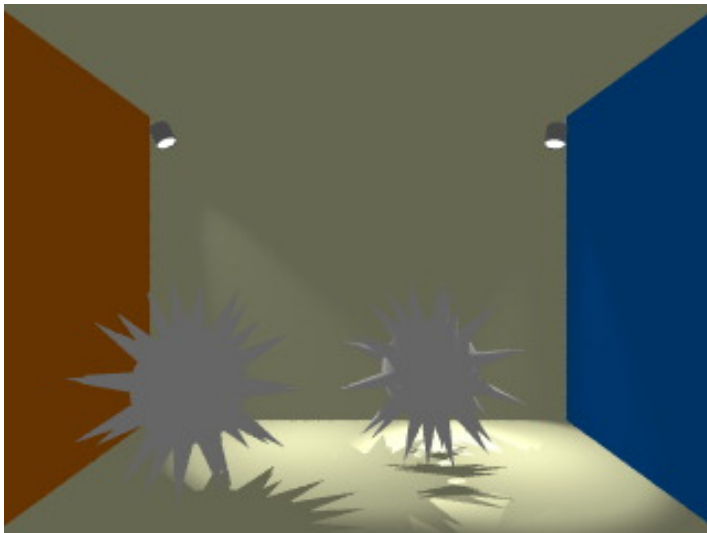
Scéna 3 bez G.O.

# Globální osvětlení v Cornellově krabici



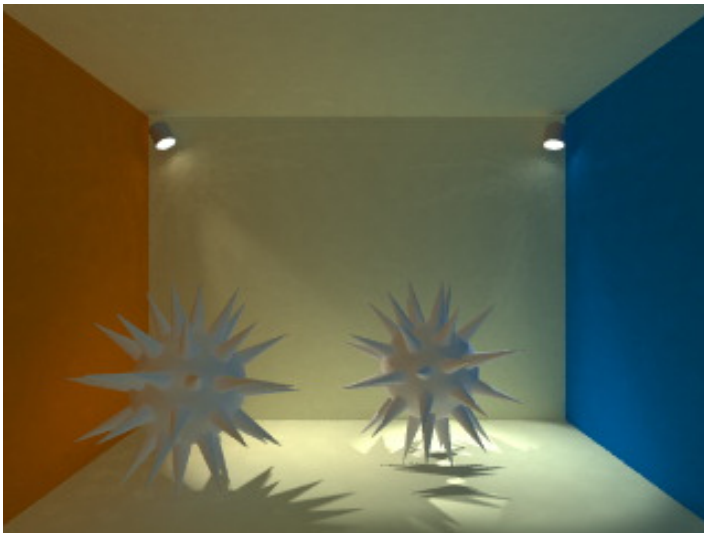
Scéna 3 s G.O.

# Globální osvětlení v Cornellově krabici



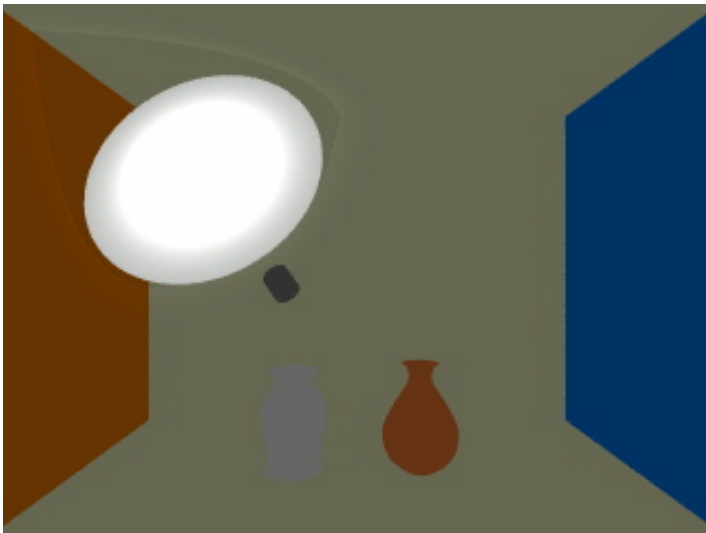
Scéna 4 bez G.O.

# Globální osvětlení v Cornellově krabici



Scéna 4 s G.O.

## Globální osvětlení - další scény



Scéna 1 bez G.O.

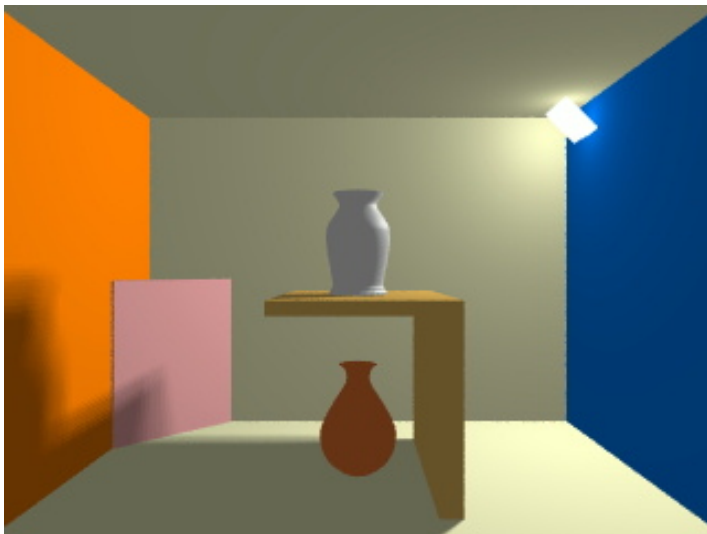


## Globální osvětlení - další scény



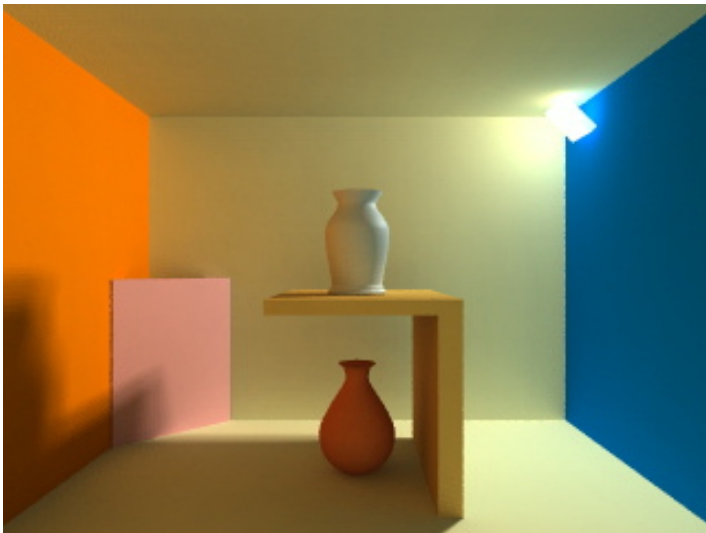
Scéna 1 s G.O.

## Globální osvětlení - další scény



Scéna 2 bez G.O.

## Globální osvětlení - další scény



Scéna 2 s G.O.

## Globální osvětlení - další scény



Scéna 3 bez G.O.

# Globální osvětlení - další scény



Scéna 3 s G.O.

# Obsah

- 1 Základní raytracing
- 2 Detaily implementace
- 3 Distribuovaný raytracing
- 4 Další globální zobrazovací metody
- 5 Galerie**

## Galerie obrázků (YafaRay, POV-Ray)



## Galerie obrázků (YafaRay, POV-Ray)





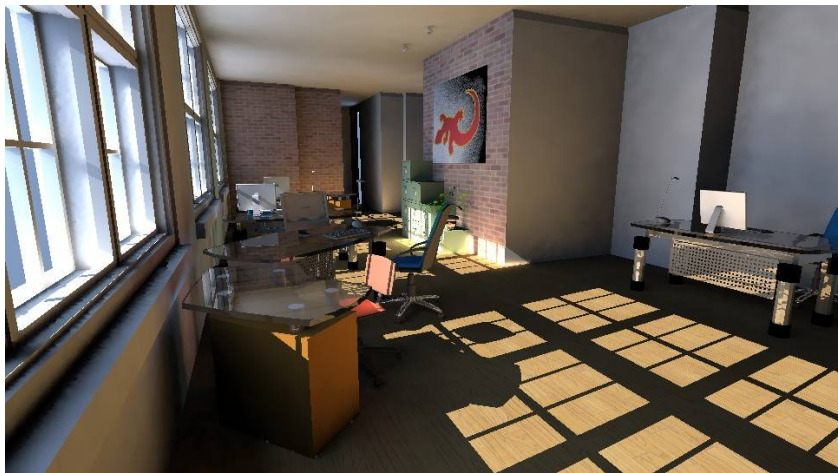
## Galerie obrázků (YafaRay, POV-Ray)



## Galerie obrázků (YafaRay, POV-Ray)



# Galerie obrázků (YafaRay, POV-Ray)



# Galerie obrázků (YafaRay, POV-Ray)



## Galerie obrázků (YafaRay, POV-Ray)



## Galerie obrázků (YafaRay, POV-Ray)



alex.vvelikov@gmail.com

## Galerie obrázků (YafaRay, POV-Ray)



## Galerie obrázků (YafaRay, POV-Ray)










## Galerie obrázků (YafaRay, POV-Ray)



# Literatura

-  Žára, Beneš, Sochor, Felkel: *Moderní počítačová grafika*. Computer Press, 2005.
-  A. Glassner: *An introduction to ray tracing*. Morgan Kaufmann, 1989. ISBN 0-12-286160-4.
-  T. Whitted: *An improved illumination model for shaded display*. Comm. ACM, 23(6), (1980), 343-349.
-  C. Kolb, D. Mitchell, P. Hanrahan: *A realistic camera model for computer graphics*. Proc. 22nd Conference on Computer graphics and in teractive techniques, (1995), 317-324.
-  M. Cohen, J. Wallace: *Radiosity and realistic image synthesis*. Morgan Kaufmann, 1993. ISBN 0-12-178270-0.